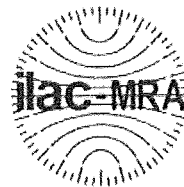




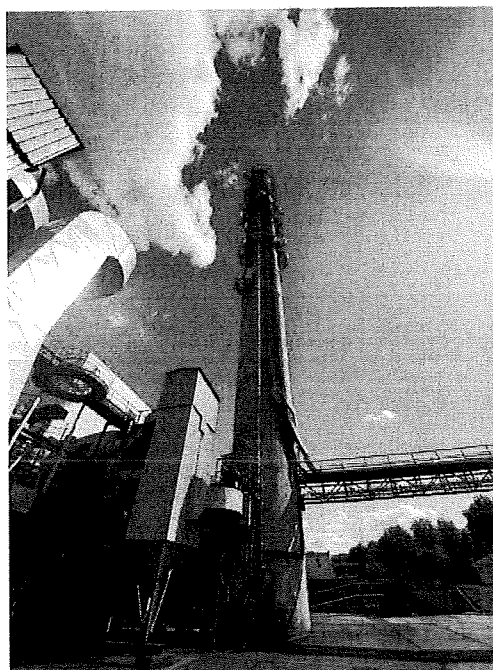
Laboratorium EMVO Sp. J. Urbański, Pawelak  
ul. Jasna 1  
00-013 Warszawa

tel. +48 22 780 29 64  
e-mail: laboratorium@emvo.pl



AB 1630

## Sprawozdanie z pomiarów pól elektromagnetycznych - środowisko nr 12/09/OŚ/2022– P4-W



<b>Nr i nazwa stacji</b>	KIE1022A	
<b>Adres</b>	Kielce, Gwarków 1, pow. Kielce, woj. świętokrzyskie	
<b>Opracowanie</b>	Martyna Karczmarczyk	Specjalista ds. pomiarów
<b>Autoryzacja</b>	Andrzej Urbański	Kierownik Laboratorium
<b>Podpis</b>	Signature Not Verified Dokument podpisany przez Andrzej Urbański Data: 2022.09.06 15:16:53 CEST Powód: Zatwierdzam dokument	
<b>Data</b>	2022-09-05	

## Spis treści

1. Informacje ogólne.....	3
2. Podstawa prawna. ....	3
3. Opis pomiarów.....	4
4. Zróżnicowanie dopuszczalne poziomy pól elektromagnetycznych.....	5
5. Charakterystyka źródeł PEM.....	5
6. Wyniki pomiarów.....	5
7. Stwierdzenie zgodności .....	6
8. Oświadczenie.....	8
9. Spis załączników. ....	9

## 1. Informacje ogólne.

<b>Zleceniodawca</b>	<b>P4 sp. z o.o.,</b> ul. Wynałazek 1, 02-677 Warszawa osoba udzielająca informacji- Monika Bieroza
<b>Istotne informacje dostarczone przez klienta</b>	komplet informacji niezbędnych do wykonania pomiarów i opracowania sprawozdania
<b>Dane otrzymane od klienta mogące mieć wpływ na ważność wyników</b>	Dane anten sektorowych, dane anten radioliniowych, parametry pracy instalacji, ustawienie pochylenia anten
<b>Prowadzący instalację</b>	P4 sp. z o.o., ul. Wynałazek 1, 02-677 Warszawa
<b>Lokalizacja obiektu</b>	Kielce, Gwarków 1, pow. Kielce, woj. świętokrzyskie
<b>Miejsce instalacji anten</b>	Komin
<b>Miejsce instalacji urządzeń</b>	Outdoor
<b>Osoby wykonujące pomiar</b>	Jarosław Buzafa
<b>Data wykonania pomiaru</b>	05.09.2022
<b>Temperatura na początku pomiaru [°C]</b>	19,0
<b>Temperatura na koniec pomiaru [°C]</b>	20,0
<b>Warunki atmosferyczne</b>	Brak opadów
<b>Wilgotność na początku pomiaru [%]</b>	45,0
<b>Wilgotność na koniec pomiaru [%]</b>	49,0
<b>Godzina na początku pomiaru</b>	15:21
<b>Godzina na koniec pomiaru</b>	18:00
<b>Inne źródła pól elektromagnetycznych oznaczone na załączniku graficznym</b>	Występują
<b>Parametry pracy instalacji</b>	Tryb eksploatacyjny

## 2. Podstawa prawna.

### 2.1 Normy i rozporządzenia:

- Rozporządzeniem Ministra Klimatu z dnia 17 lutego 2020 r. w sprawie sposobów sprawdzania dotrzymania dopuszczalnych poziomów pól elektromagnetycznych w środowisku (Dz.U. 2020 poz. 258)
- Rozporządzenie Ministra Zdrowia z dnia 17 grudnia 2019 r. w sprawie dopuszczalnych poziomów pól elektromagnetycznych w środowisku (Dz.U. 2019 poz. 2448)
- Obwieszczenie Marszałka Sejmu Rzeczypospolitej Polskiej z dnia 19 lipca 2019 r. w sprawie ogłoszenia jednolitego tekstu ustawy - Prawo ochrony środowiska (Dz.U. 2019 poz. 1396)
- Rozporządzenie Ministra Klimatu i Środowiska z dnia 6 maja 2022 r. zmieniające rozporządzenie w sprawie sposobów sprawdzania dotrzymania dopuszczalnych poziomów pól elektromagnetycznych w środowisku (Dz.U. 2022 poz. 1121).

„Bez pisemnej zgody Laboratorium niniejsze sprawozdanie nie może być powielane inaczej, jak tylko w całości. Ponadto wyniki dotyczą tylko badanych obiektów przywołanych w niniejszym sprawozdaniu z badań”

### 3. Opis pomiarów

Metodologia pomiarowa	Pomiary w oparciu o Rozporządzeniem Ministra Klimatu z dnia 17 lutego 2020 r. w sprawie sposobów sprawdzania dotrzymania dopuszczalnych poziomów pól elektromagnetycznych w środowisku (Dz.U. 2020 poz. 258) oraz Rozporządzenie Ministra Klimatu i Środowiska z dnia 6 maja 2022 r. zmieniające rozporządzenie w sprawie sposobów sprawdzania dotrzymywania dopuszczalnych poziomów pól elektromagnetycznych w środowisku (Dz.U. 2022 poz. 1121).
Cel badań	Określenie wartości natężenia pola elektrycznego w miejscach dostępnych dla ludności.
Opis zestawu pomiarowego	Miernik Narda NBM 520, Sonda EF 9091, o zakresie pomiarowym 0,7 V/m - 300V/m pracująca w paśmie 0,1 – 90 GHz, świadectwo wydane przez Laboratorium Wzorców i Metrologii Pola Elektromagnetycznego, Instytut Telekomunikacji, Teleinformatyki i Akustyki Politechniki Wrocławskiej. Świadectwo ważne do 07.07.2023. Miernik Narda NBM 520, Sonda EF 9091 pracująca w zakresie temperatury -10°C - +50°C oraz wilgotności 5% - 95%. Niepewność rozszerzona wynosi 57% przy poziomie ufności 95% z uwzględnieniem współczynnika rozszerzenia k=2.
Wyposażenie pomocnicze	Termohigrometr Termoprodukt, typ: Termik+, nr identyfikacyjny 700618, świadectwo wzorcowania nr 1763/AH/19 z dn. 29.07.2019 r. wydane przez Laboratorium Pomiarowe "MUTECH". Przymiar wstępowy STABILA, nr identyfikacyjny 31WL, świadectwo wzorcowania nr 6W1/1826/19 z dn. 02.08.2019 r. wydane przez Dyrektora Okręgowego Urzędu Miar w Gdańsku. GPS Garmin 64s okresowo sprawdzany w punktach osnowy geodezyjnej klasy 3 na podstawie licencji punktu, zgodnie z procedurą sprawdzeń okresowych IS/PO16-11/03.
Pomiary zostały wykonane	<ol style="list-style-type: none"><li>1. na głównych i pomocniczych kierunkach pomiarowych, na kierunkach zbliżonych do azymutów anten oraz w dodatkowych pionach pomiarowych zgodnie z wymaganiami pkt 12, 13, 14 i 19 Rozporządzenia Ministra Klimatu z dnia 17 lutego 2020 r. (Dz. U. 2020, poz. 258) oraz Rozporządzenia Ministra Klimatu i Środowiska z dnia 6 maja 2022 r. zmieniającego rozporządzenie w sprawie sposobów sprawdzania dotrzymywania dopuszczalnych poziomów pól elektromagnetycznych w środowisku (Dz.U. 2022 poz. 1121).</li><li>2. na obszarze pomiarowym, dla którego, na podstawie uprzednio przeprowadzonych obliczeń stwierdzono w miejscach dostępnych dla ludności występowanie pól elektromagnetycznych o najwyższym poziomie, które pochodzą z badanej instalacji zgodnie z wymaganiami pkt 5 ppkt 2 oraz pkt 13 ppkt 1 Rozporządzenia Ministra Klimatu z dnia 17 lutego 2020 r. w sprawie sposobów sprawdzania dotrzymania dopuszczalnych poziomów pól elektromagnetycznych w środowisku (Dz. U. 2020, poz. 258) oraz Rozporządzenia Ministra Klimatu i Środowiska z dnia 6 maja 2022 r. zmieniającego rozporządzenie w sprawie sposobów sprawdzania dotrzymywania dopuszczalnych poziomów pól elektromagnetycznych w środowisku (Dz.U. 2022 poz. 1121). Wyniki obliczeń nie uwzględniały parametrów pracy instalacji innych operatorów występujących na obiekcie bądź w obszarze pomiarowym.</li><li>3. w miejscach dostępnych dla ludności.</li><li>4. miejsca niedostępne podczas wykonywania pomiarów wskazane zostały w pkt 6 (tabeli wyniki pomiarów).</li></ol>

Szczególne warunki podczas Pomiary wykonane zostały podczas obowiązywania w kraju stanu zagrożenia

„Bez pisemnej zgody Laboratorium niniejsze sprawozdanie nie może być powielane inaczej, jak tylko w całości. Ponadto wyniki dotyczą tylko badanych obiektów przywołanych w niniejszym sprawozdaniu z badań”

wykonywanie pomiarów

epidemicznego, zgodnie z art. 122a ust. 1b Ustawy z dnia 27 kwietnia 2001 r. – Prawo ochrony środowiska (Dz. U. z 2019 r. poz. 1396, z późn. zm.9)).

Warunki pracy urządzeń nadawczych

Tryb pracy eksploatacyjny.

#### 4. Zróżnicowanie dopuszczalne poziomy pól elektromagnetycznych.

Zakresy znajdują się w Dzienniku Ustaw z dnia 17 grudnia 2019 r. przestawione są w tabeli nr 2 (Dz. U. z 2019r. poz. 2448).

Parametr fizyczny	Składowa elektryczna E (V/m)	Składowa magnetyczna H (A/m)	Gęstość mocy S (W/m <sup>2</sup> )
Zakres Częstotliwości pola elektromagnetycznego			
od 400 MHz do 2000 MHz	$1,375 \times f^{0,5}$	$0,0037 \times f^{0,5}$	f / 200
od 2 GHz do 300 GHz	61	0,16	10

#### 5. Charakterystyka źródeł PEM.

Zgodnie z informacją otrzymaną od Klienta pomiary zostały wykonane przy ustawieniach pochylenia anten zgodnych z pkt. 13, ppkt 2 Rozporządzenia Ministra Klimatu z dnia 17 lutego 2020 roku.

Tabela 1. Anteny sektorowe - dane otrzymane od klienta

Charakterystyka promieniowania		kierunkowa														
Rzeczywisty czas pracy [h/dobę]		24														
Rodzaj wytwarzanego pola		stacjonarne														
L p	Wyszczególnienie	sektor 1							sektor 2							
		Nadajnik stacji bazowej:														
1	Typ / Producent	RBS / SRAN Ericsson														
2	Częstotliwość (pasmo) MHz	900	800	2600	2100	1800	2100	1800	900	800	2600	2100	1800	2100	1800	
3	Maksymalna moc nadawana na sektor [dBm]	49,03	49,03	52,04	50	50	50	50	49,03	49,03	52,04	50	50	50	50	
II		Obciążenie:														
1	Typ anteny	Kathrein 80010456	Huawei AMB4519R6	Kathrein 742351	Kathrein 742351	Kathrein 80010306	Huawei ADU4518R6	Kathrein 742215	Kathrein 742215							
2	Producent anteny	Kathrein	Huawei	Kathrein	Kathrein	Kathrein	Huawei	Kathrein	Kathrein							
3	Ilość anten	1	1	1	1	1	1	1	1							
4	Azymut	31							120							
5	Zakres kątów pochylenia anten [°]	0,5-10	0,5-10	2-12	0-8	0-8	0-8	0-8	0,5-9,5	0,5-9,5	0-12	0-10	0-10	0-10	0-10	
6	Wysokość zainst. n.p.t. [m]	27,50	48,70	48,70	48,70	48,70	27,50	48,70	48,70							
7	EIRP [W]	15339	13657	19749	19749	7680	10122	11490	11490							

Charakterystyka promieniowania		kierunkowa													
Rzeczywisty czas pracy [h/dobę]		24													
Rodzaj wytwarzanego pola		stacjonarne													
Lp	Wyszczególnienie	sektor 3							sektor 4						
I															
Nadajnik stacji bazowej:															
1	Typ / Producent	RBS / SRAN Ericsson													
2	Częstotliwość (pasmo) MHz	900	800	2600	2100	1800	2100	1800	900	800	2600	2100	1800	2100	1800
3	Maksymalna moc nadawana na sektor [dBm]	49,03	49,03	52,04	50	50	50	50	49,03	49,03	52,04	50	50	50	50
II															
Obciążenie:															
1	Typ anteny	Kathrein 80010306	Huawei ADU4518R6	Kathrein 742215	Kathrein 742215	Kathrein 80010456	Huawei AMB4519R6	Kathrein 742351	Kathrein 742351						
2	Producent anteny	Kathrein	Huawei	Kathrein	Kathrein	Kathrein	Huawei	Kathrein	Kathrein						
3	Ilość anten	1	1	1	1	1	1	1	1						
4	Azymut	240					329								
5	Zakres kątów pochylenia anten [°]	0,5-9,5	0,5-9,5	0-12	0-10	0-10	0-10	0-10	0,5-10	0,5-10	2-12	0-8	0-8	0-8	0-8
6	Wysokość zainst. n.p.t. [m]	27,50	48,70	48,70	48,70	27,50	48,7	48,7	48,7						
7	EIRP [W]	7680	10122	11490	11490	15339	13657	19749	19749						

Tabela 2. Anteny radioliniowe- dane otrzymane od klienta

Charakterystyka promieniowania		kierunkowa					
Rzeczywisty czas pracy [h/dobę]		24					
Rodzaj wytwarzanego pola		stacjonarne					
Linia radiowa		Antena					
Lp	typ/producent	częstotliwość pracy [GHz]	moc wyjściowa [dBm]	typ/producent	średnica anteny [m]	azymut [°]	wysokość zainstal. [m]
1	OPTIX RTN/HUAWEI	80	18	VHLP1-80/Andrew	0,3	89	71,20
2	OPTIX RTN/HUAWEI	80	18	VHLP1-80/Andrew	0,3	132	71,75
3	OPTIX RTN/HUAWEI	13	29	VHLPX2-13/Andrew	0,6	218	71,75
4	OPTIX RTN/HUAWEI	23	21	VHLPX2-23/Andrew	0,6	279	56,45
5	OPTIX RTN/HUAWEI	80	18	VHLP1-80/Andrew	0,3	327	71,90

## 6. Wyniki pomiarów.

Wyniki pomiarów pól elektromagnetycznych dla celów ochrony środowiska przedstawia poniższa tabela. Piony pomiarowe zostały przedstawione w zał. 2.

Nr PP	Pole-E [V/m]	Pole-E +U [V/m]	Pole-H [A/m]	Pole-H +U [A/m]	Wys. pomiaru [m]	Opis pionu	Uwagi	WM <sub>E</sub>	WM <sub>H</sub>
1	1,2	1,88	0,003	0,005	0,3-2,0	N:50°52'32.0" E:20°35'36.7"	otoczenie stacji bazowej - 100m wzdłuż gł. osi promieniowania - GKP	0,067	0,068
2	1,0	1,57	0,003	0,004	0,3-2,0	N:50°52'34.8" E:20°35'39.8"	otoczenie stacji bazowej - 200m wzdłuż gł. osi promieniowania - GKP	0,056	0,057
3	0,9	1,41	0,002	0,004	0,3-2,0	N:50°52'37.4" E:20°35'42.2"	otoczenie stacji bazowej - 300m wzdłuż gł. osi promieniowania - GKP	0,050	0,051
4	0,8	1,26	0,002	0,003	0,3-2,0	N:50°52'39.8" E:20°35'45.1"	otoczenie stacji bazowej - 400m wzdłuż gł. osi promieniowania - GKP	0,045	0,046
5	0,7*	1,26	0,002	0,003	0,3-2,0	N:50°52'42.3" E:20°35'47.1"	otoczenie stacji bazowej - 490m wzdłuż gł. osi promieniowania - GKP	0,045	0,046
6	0,9	1,41	0,002	0,004	0,3-2,0	N:50°52'27.3" E:20°35'38.5"	otoczenie stacji bazowej - 100m wzdłuż gł. osi promieniowania - GKP	0,050	0,051

7	1,3	2,04	0,003	0,005	0,3-2,0	N:50°52'26.0" E:20°35'42.3"	otoczenie stacji bazowej - 200m wzdłuż gł. osi promieniowania - GKP	0,073	0,074
8	0,8	1,26	0,002	0,003	0,3-2,0	N:50°52'24.4" E:20°35'46.7"	otoczenie stacji bazowej - 300m wzdłuż gł. osi promieniowania - GKP	0,045	0,046
9	0,7*	1,26	0,002	0,003	0,3-2,0	N:50°52'22.6" E:20°35'51.8"	otoczenie stacji bazowej - 400m wzdłuż gł. osi promieniowania- GKP	0,045	0,046
10	0,7*	1,26	0,002	0,003	0,3-2,0	N:50°52'21.2" E:20°35'54.4"	otoczenie stacji bazowej - 490m wzdłuż gł. osi promieniowania - GKP	0,045	0,046
11	1,1	1,73	0,003	0,005	0,3-2,0	N:50°52'27.7" E:20°35'29.3"	otoczenie stacji bazowej - 100m wzdłuż gł. osi promieniowania - GKP	0,062	0,063
12	0,8	1,26	0,002	0,003	0,3-2,0	N:50°52'26.3" E:20°35'25.2"	otoczenie stacji bazowej - 200m wzdłuż gł. osi promieniowania - GKP	0,045	0,046
13	0,7*	1,26	0,002	0,003	0,3-2,0	N:50°52'24.6" E:20°35'20.6"	otoczenie stacji bazowej - 300m wzdłuż gł. osi promieniowania - GKP	0,045	0,046
14	0,7*	1,26	0,002	0,003	0,3-2,0	N:50°52'22.9" E:20°35'15.7"	otoczenie stacji bazowej - 400m wzdłuż gł. osi promieniowania- GKP	0,045	0,046
15	0,7*	1,26	0,002	0,003	0,3-2,0	N:50°52'21.8" E:20°35'12.3"	otoczenie stacji bazowej - 490m wzdłuż gł. osi promieniowania - GKP	0,045	0,046
16	1,2	1,88	0,003	0,005	0,3-2,0	N:50°52'31.8" E:20°35'31.8"	otoczenie stacji bazowej - 100m wzdłuż gł. osi promieniowania - GKP	0,067	0,068
17	1,1	1,73	0,003	0,005	0,3-2,0	N:50°52'34.9" E:20°35'29.2"	otoczenie stacji bazowej - 200m wzdłuż gł. osi promieniowania - GKP	0,062	0,063
18	0,8	1,26	0,002	0,003	0,3-2,0	N:50°52'37.7" E:20°35'26.5"	otoczenie stacji bazowej - 300m wzdłuż gł. osi promieniowania - GKP	0,045	0,046
19	0,7*	1,26	0,002	0,003	0,3-2,0	N:50°52'40.5" E:20°35'23.8"	otoczenie stacji bazowej - 400m wzdłuż gł. osi promieniowania- GKP	0,045	0,046
20	0,7*	1,26	0,002	0,003	0,3-2,0	N:50°52'42.7" E:20°35'21.9"	otoczenie stacji bazowej - 490m wzdłuż gł. osi promieniowania - GKP	0,045	0,046
21	1,2	1,88	0,003	0,005	0,3-2,0	N:50°52'31.2" E:20°35'37.0"	otoczenie stacji bazowej - GKP	0,067	0,068
22	0,7*	1,26	0,002	0,003	0,3-2,0	N:50°52'29.0" E:20°35'39.3"	otoczenie stacji bazowej - 100m wzdłuż gł. osi promieniowania - GKP	0,045	0,046
23	0,8	1,26	0,002	0,003	0,3-2,0	N:50°52'27.1" E:20°35'38.1"	otoczenie stacji bazowej - 100m wzdłuż gł. osi promieniowania - GKP	0,045	0,046
24	0,7*	1,26	0,002	0,003	0,3-2,0	N:50°52'26.8" E:20°35'30.9"	otoczenie stacji bazowej - 100m wzdłuż gł. osi promieniowania - GKP	0,045	0,046
25	0,7*	1,26	0,002	0,003	0,3-2,0	N:50°52'29.5" E:20°35'28.3"	otoczenie stacji bazowej - 100m wzdłuż gł. osi promieniowania - GKP	0,045	0,046
26	0,8	1,26	0,002	0,003	0,3-2,0	N:50°52'30.5" E:20°35'38.8"	otoczenie stacji bazowej - GKP	0,045	0,046
27	0,7*	1,26	0,002	0,003	0,3-2,0	N:50°52'26.8" E:20°35'34.0"	otoczenie stacji bazowej -PKP	0,045	0,046
28	0,8	1,26	0,002	0,003	0,3-2,0	N:50°52'30.4" E:20°35'30.8"	otoczenie stacji bazowej -PKP	0,045	0,046
29	0,8	1,26	0,002	0,003	0,3-2,0	N:50°52'32.4" E:20°35'33.4"	otoczenie stacji bazowej - GKP	0,045	0,046
30	0,7*	1,26	0,002	0,003	0,3-2,0	N:50°52'33.8" E:20°35'32.3"	otoczenie stacji bazowej - GKP	0,045	0,046
A	0,9	1,41	0,002	0,004	0,3-2,0	N:50°52'27.5" E:20°35'38.9"	Brak adresu, pomiar przed budynkiem -DPP	0,050	0,051
B	0,9	1,41	0,002	0,004	0,3-2,0	N:50°52'24.5" E:20°35'46.1"	Podklasztorna 32, pomiar przed bramą -DPP	0,050	0,051
C	0,7*	1,26	0,002	0,003	0,3-2,0	N:50°52'23.7" E:20°35'49.8"	Artwińskiego 9, pomiar przed budynkiem -DPP	0,045	0,046
D	0,8	1,26	0,002	0,003	0,3-2,0	N:50°52'24.2" E:20°35'57.9"	Podklasztorna 33, pomiar przed budynkiem -DPP	0,045	0,046
E	1,2	1,88	0,003	0,005	0,3-2,0	N:50°52'31.1" E:20°35'37.1"	Gwarków 1, pomiar przed budynkiem -DPP	0,067	0,068
F	0,9	1,41	0,002	0,004	0,3-2,0	N:50°52'34.8" E:20°35'39.7"	Piekoszowska 85, pomiar przed wejściem -DPP	0,050	0,051
G	0,9	1,41	0,002	0,004	0,3-2,0	N:50°52'36.3" E:20°35'41.5"	Piekoszowska 83 pomiar przed budynkiem -DPP	0,050	0,051
H	0,8	1,26	0,002	0,003	0,3-2,0	N:50°52'39.1" E:20°35'43.4"	Rzepichy 15, pomiar przed budynkiem -DPP	0,045	0,046
I	0,7*	1,26	0,002	0,003	0,3-2,0	N:50°52'39.6" E:20°35'43.9"	Rzepichy 18, pomiar przed budynkiem -DPP	0,045	0,046

„Bez pisemnej zgody Laboratorium niniejsze sprawozdanie nie może być powielane inaczej, jak tylko w całości. Ponadto wyniki dotyczą tylko badanych obiektów przywołanych w niniejszym sprawozdaniu z badań”

J	0,7*	1,26	0,002	0,003	0,3-2,0	N:50°52'41.3" E:20°35'46.0"	Piastowska 15, pomiar przed budynkiem -DPP	0,045	0,046
K	0,9	1,41	0,002	0,004	0,3-2,0	N:50°52'35.5" E:20°35'27.9"	Starowiejska 18, pomiar przed budynkiem -DPP	0,050	0,051
L	0,8	1,26	0,002	0,003	0,3-2,0	N:50°52'37.4" E:20°35'26.3"	Starowiejska 24A, pomiar przed budynkiem -DPP	0,045	0,046
M	0,7*	1,26	0,002	0,003	0,3-2,0	N:50°52'38.7" E:20°35'25.1"	Piekoszowska 107A, pomiar przed bramą -DPP	0,045	0,046
N	0,7*	1,26	0,002	0,003	0,3-2,0	N:50°52'40.3" E:20°35'24.3"	Piekoszowska 107, pomiar przed bramą -DPP	0,045	0,046
O	0,7*	1,26	0,002	0,003	0,3-2,0	N:50°52'41.6" E:20°35'22.7"	Piekoszowska 116A, pomiar przed budynkiem -DPP	0,045	0,046
P	1,2	1,88	0,003	0,005	0,3-2,0	N:50°52'30.7" E:20°35'33.6"	Gwarków 2, pomiar przed budynkiem -DPP	0,067	0,068

Wynik pomiaru pole - E [V/m] - maksymalna wartość chwilowa zmierzona w danym pionie pomiarowym (uśredniona na podstawie punktu 11 Rozporządzenia Ministra Zdrowia).

Przyjęto najniższą dopuszczalną wartość składowej elektrycznej pola dla objętego pomiarami zakresu częstotliwości  $\min(ME_{gr}) = 28 \text{ V/m}$  oraz składowej magnetycznej  $\min(MH_{gr}) = 0,073 \text{ A/m}$ .

\* - wartość zmierzona poniżej zakresu akredytacji. Do obliczeń przyjęto wartość zgodną z dolną granicą akredytowanego zakresu pomiarowego metody.

GKP - główne kierunki pomiarowe

PKP - pomocnicze kierunki pomiarowe

DPP - dodatkowe punkty pomiarowe

PP - pion pomiarowy

U - niepewność pomiarowa rozszerzona, przy poziomie ufności 95%, z uwzględnieniem współczynnika rozszerzenia  $k=2$

WM<sub>E</sub> - wartość wskaźnikowa poziomu emisji pól elektromagnetycznych dla miejsc dostępnych dla ludności dla składowej elektrycznej pola

WM<sub>H</sub> - wartość wskaźnikowa poziomu emisji pól elektromagnetycznych dla miejsc dostępnych dla ludności dla składowej magnetycznej pola

## 7. Stwierdzenie zgodności

Na podstawie wytycznych podanych w Rozporządzeniu Ministra Zdrowia z dnia 17 grudnia 2019 r. w sprawie dopuszczalnych poziomów pól elektromagnetycznych w środowisku (Dz.U. 2019 poz. 2448) oraz sposobów sprawdzania dotrzymania tych poziomów zgodnie z Rozporządzeniem Ministra Klimatu z dnia 17 lutego 2020 r. w sprawie sposobów sprawdzania dotrzymania dopuszczalnych poziomów pól elektromagnetycznych w środowisku (Dz.U. 2020 poz. 258) oraz Rozporządzeniem Ministra Klimatu i Środowiska z dnia 6 maja 2022 r. zmieniającego rozporządzenie w sprawie sposobów sprawdzania dotrzymania dopuszczalnych poziomów pól elektromagnetycznych w środowisku (Dz.U. 2022 poz. 1121), dotyczących źródła wymagań, które muszą być spełnione, w oparciu o zasadę podejmowania decyzji zgodną z pkt 26 Rozporządzenia Ministra Klimatu z dnia 17 lutego 2020 r. (Dz.U. 2020 poz. 258), na podstawie wyników pomiarów pól elektromagnetycznych wykonanych w dniu 05.09.2022 stwierdzono, iż w miejscach dostępnych dla ludności, dopuszczalne poziomy pól elektromagnetycznych w środowisku, określone w przepisach wydanych na podstawie art. 122 ust. 1 ustawy z dnia 27 kwietnia 2001 r. – Prawo ochrony środowiska, uznaje się za dotrzymane w obszarze pomiarowym, w którym w wyniku zastosowania sposobu sprawdzenia dotrzymania dopuszczalnych poziomów pól elektromagnetycznych w środowisku, udokumentowano, że żadna z wartości wskaźnikowych nie przekracza wartości 1.

## 8. Oświadczenie.

Wyniki badania odnoszą się wyłącznie do badanego obiektu.

Bez pisemnej zgody sprawozdanie nie może być powielane inaczej, jak tylko w całości.

Uwagi i zastrzeżenia przyjmowane są w formie pisemnej w ciągu 14 dni od daty otrzymania sprawozdania.



## 9. Spis załączników.

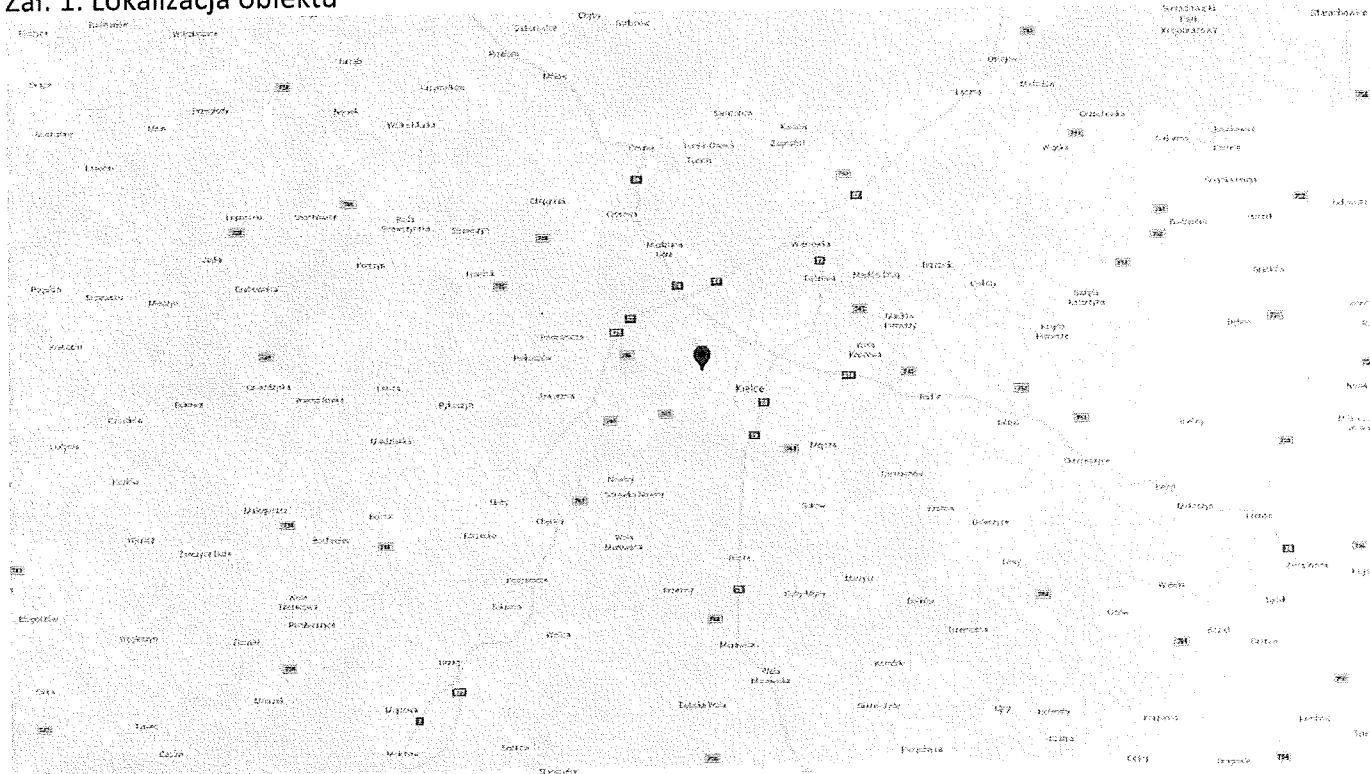
Zał. 1. Lokalizacja obiektu.

Zał. 2. Widok pionów pomiarowych

Zał. 3. Załączniki graficzne

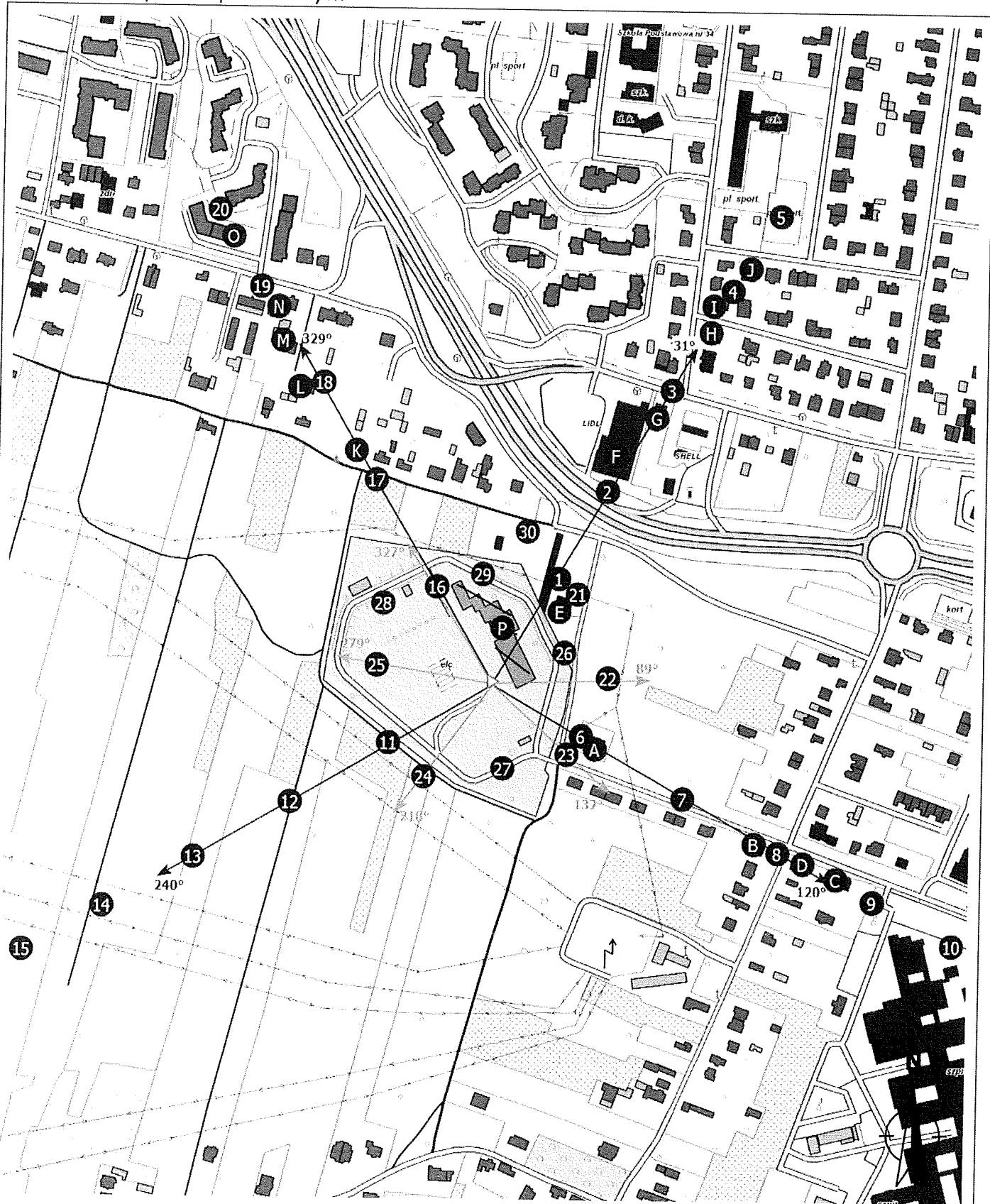
Koniec sprawozdania

### Zał. 1. Lokalizacja obiektu



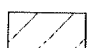
Współrzędne geograficzne	
długość:	20°35'33.78"E
szerokość:	50°52'29.39"N


Załącznik 2. Widok pionów pomiarowych



LEGENDA:

▾ inna instalacja radiokomunikacyjna

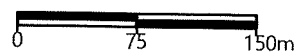
 brak dostępu

 pion pomiaru

 antena sektorowa

 antena radioliowa

Skala: 1:5600



Załącznik 3. Załączniki graficzne.



